

บทที่ 4

ผลการทดลองและวิเคราะห์ผลการทดลอง

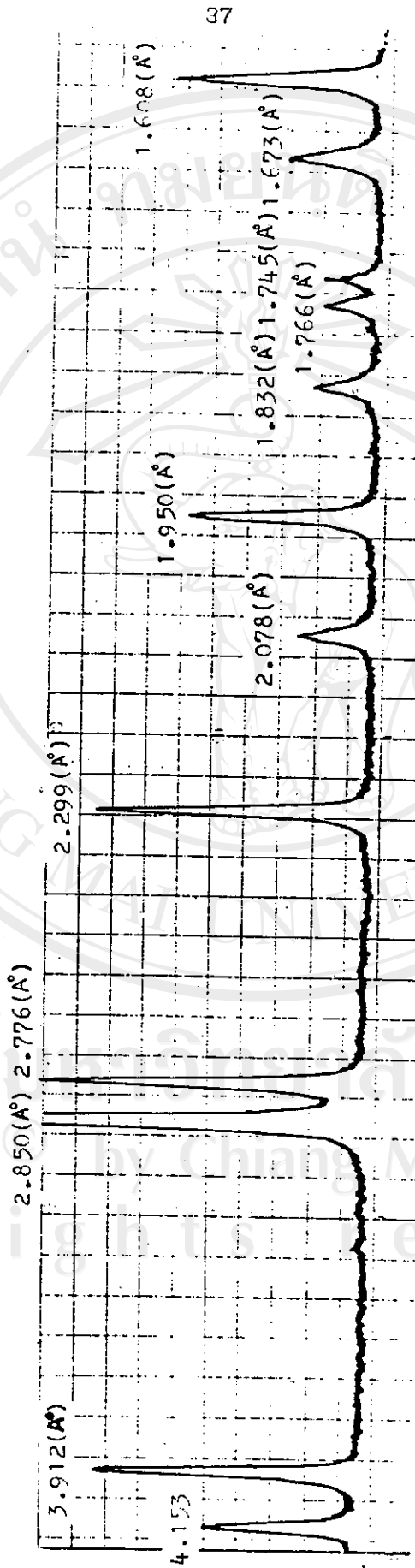
ในการวิจัยครั้งนี้ ได้ผสมเลดออกไซด์ (PbO) กับติตาเนียมออกไซด์ (TiO₂) ในอัตราส่วน 1 : 1 โมล เพื่อศึกษาการฟอร์มตัวเป็นเลดติตาเนต (PbTiO₃) จาก diffraction pattern

4.1 ผลการตรวจสอบสารตัวอย่าง โดยวิธี x-ray diffraction

นำสารผสมระหว่างเลดออกไซด์ (PbO) กับติตาเนียมออกไซด์ (TiO₂) ในอัตราส่วน 1 : 1 โมล ที่ผ่านการเผาแคลไซน์ที่ 800 องศาเซลเซียส นาน 1 ชั่วโมง และเผาซินเตอร์ที่อุณหภูมิ 1170 องศาเซลเซียส นานเป็นเวลาต่างกัน (1-2.5 ชั่วโมง) โดยใช้ความดันในการขึ้นรูปสารตัวอย่างต่างกัน (1-3 ตัน) นำสารตัวอย่างที่ได้ไปตรวจสอบโดยใช้เครื่อง x-ray diffractometer ได้ diffraction pattern ดังรูปที่ 4.1-4.3 นำค่ามุม diffraction ไปคำนวณหาค่า d-spacing โดยใช้กฎของ Bragg ดังสมการที่ 3.1 คือ

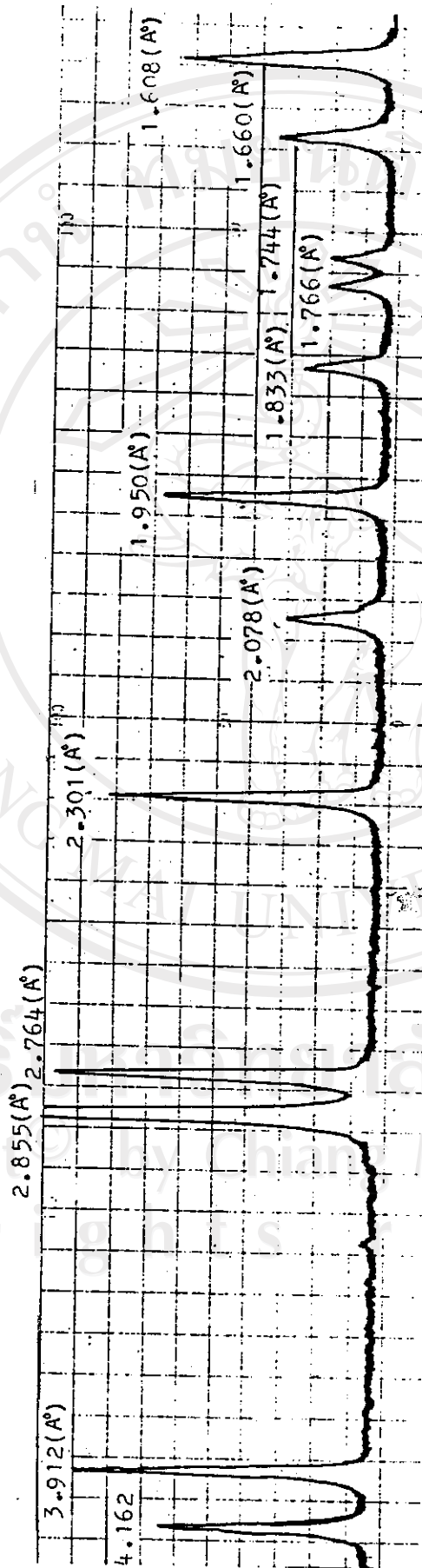
$$d = \lambda / (2 \sin \theta)$$

แล้วนำไปเทียบค่า d-spacing จากบัตร A.S.T.M.⁽⁶⁾ ได้ผลดังตารางที่ 4.1 - 4.3

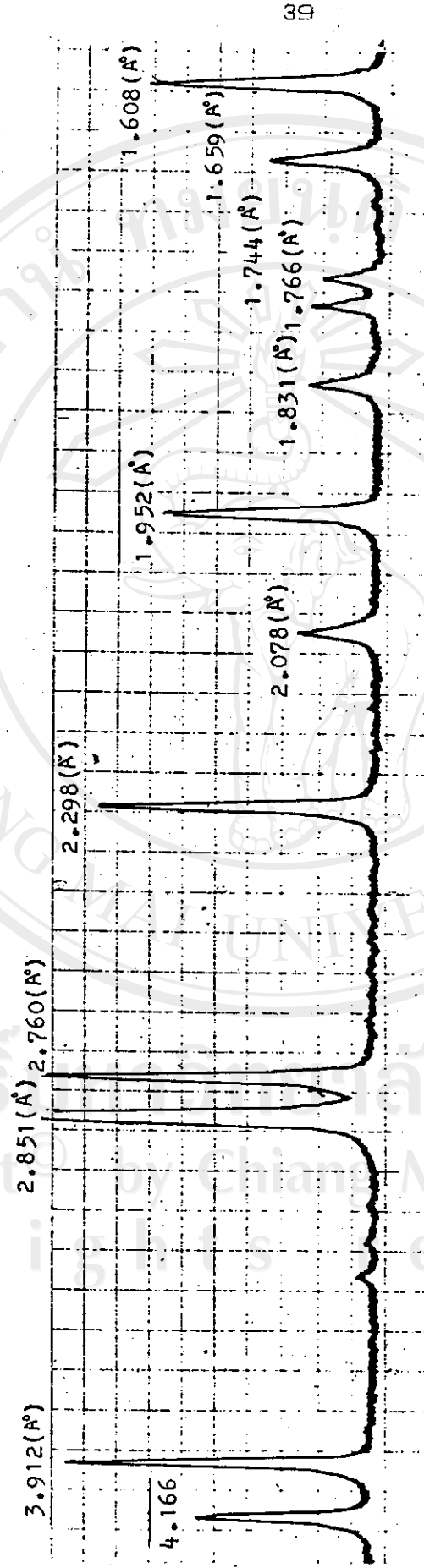


รูปที่ 4.1 แสดง diffraction pattern ของสารผสมระหว่าง PbO กับ TiO₂ ในอัตรา 1 : 1 โมล แร่ดินในการขึ้นรูป 1.5 ตัน ซินเตอร์ที่ 1170°C นาน 1 ชั่วโมง

ลิขสิทธิ์ © 2553 โดย Chiang Mai University
 Copyright © 2011 by Chiang Mai University
 All rights reserved



รูปที่ 4.2 แสดง diffraction pattern ของสารผสมระหว่าง PbO กับ TiO₂ ในอัตรา 1 : 1 ในสภาวะการขึ้นรูป 2 ตัน ขึ้นเตาที่ 1170°C นาน 1 ชั่วโมง



รูปที่ 4.9 แสดง diffraction pattern ของสารผสมระหว่าง PbO กับ TiO_2 ในอัตรา 1 : 1 โมล แรกค้นในการขึ้นรูป 2.5 ตัน ซินเตอร์ที่ $1170^{\circ}C$ นาน 1 ชั่วโมง

ลิขสิทธิ์ © โดย Chiang Mai University
 All rights reserved

ตารางที่ 4.1 แสดงการเปรียบเทียบ d-spacing ระหว่าง $PbTiO_3$ จากบัตร A.S.T.M. กับ d-spacing ของสารที่เตรียมจาก PbO กับ TiO_2 ด้วยอัตราส่วน 1 : 1 โมล แรงดันที่ขึ้นรูป 1.5 ตัน ขึ้นเตาที่ $1170^\circ C$ นาน 1 ชั่วโมง

line No.	A.S.T.M.		measurement	
	I/I_0	d(°A)	d (°A)	I/I_0
1	25	4.150	4.153	25
2	50	3.900	3.912	50
3	100	2.842	2.850	100
4	55	2.758	2.776	55
5	40	2.297	2.299	40
6	16	2.076	2.078	16
7	30	1.950	1.950	30
8	14	1.833	1.832	14
9	10	1.765	1.766	10
10	12	1.744	1.745	12
11	20	1.658	1.673	20
12	40	1.607	1.608	40

ตารางที่ 4.2 แสดงการเปรียบเทียบ d-spacing ระหว่าง PbTiO_3 จากบัตร A.S.T.M. กับ d-spacing ของสารที่เตรียมจาก PbO กับ TiO_2 ด้วยอัตราส่วน 1 : 1 โมล แรงดันที่ขึ้นรูป 2 ตัน จินเตอร์ที่ 1170°C นาน 1 ชั่วโมง

line No.	A.S.T.M.		measurement	
	I/I_0	$d(\text{\AA})$	$d(\text{\AA})$	I/I_0
1	25	4.150	4.162	25
2	50	3.900	3.912	50
3	100	2.842	2.855	100
4	55	2.758	2.764	55
5	40	2.297	2.301	40
6	16	2.076	2.078	16
7	30	1.950	1.950	40
8	14	1.833	1.833	14
9	10	1.765	1.766	12
10	12	1.744	1.744	12
11	20	1.658	1.660	20
12	40	1.607	1.608	38

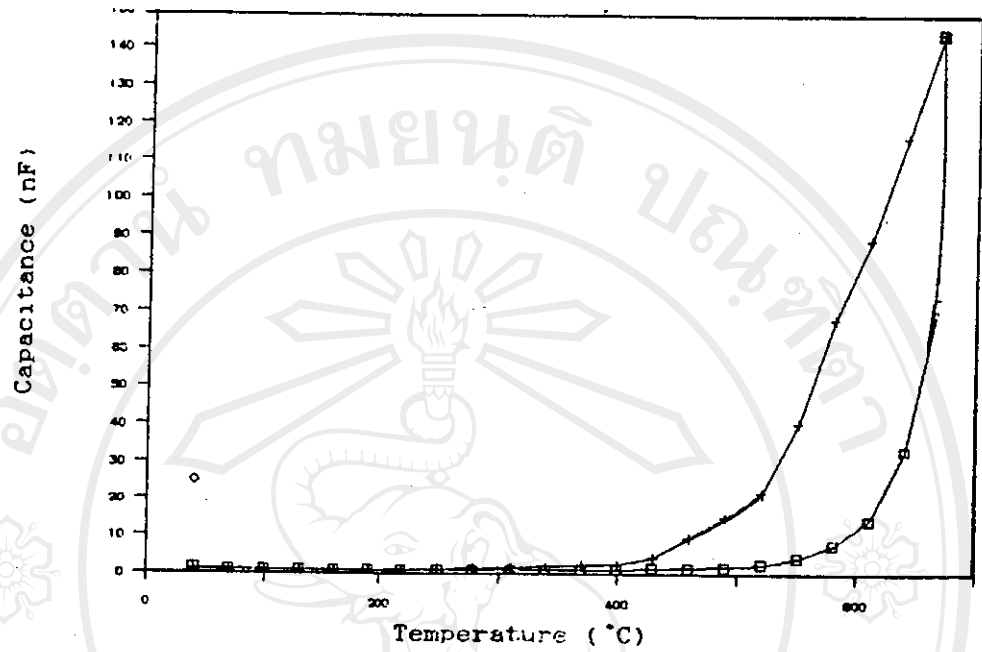
ตารางที่ 4.3 แสดงการเปรียบเทียบ d-spacing ระหว่าง $PbTiO_3$ จากบัตร A.S.T.M. กับ d-spacing ของสารที่เตรียมจาก PbO กับ TiO_2 ด้วยอัตราส่วน 1 : 1 โมล แรงดันที่ขึ้นรูป 2.5 ตัน ขึ้นเตอที่ $1170^\circ C$ นาน 1 ชั่วโมง

line No.	A.S.T.M.		measurement	
	I/I_0	$d(^\circ A)$	$(^\circ A)$	I/I_0
1	25	4.150	4.166	25
2	50	3.900	3.912	50
3	100	2.842	2.851	100
4	55	2.758	2.760	55
5	40	2.297	2.298	40
6	16	2.076	2.078	14
7	30	1.950	1.952	33
8	14	1.833	1.831	14
9	10	1.765	1.766	10
10	12	1.744	1.744	13
11	20	1.658	1.659	20
12	40	1.607	1.608	35

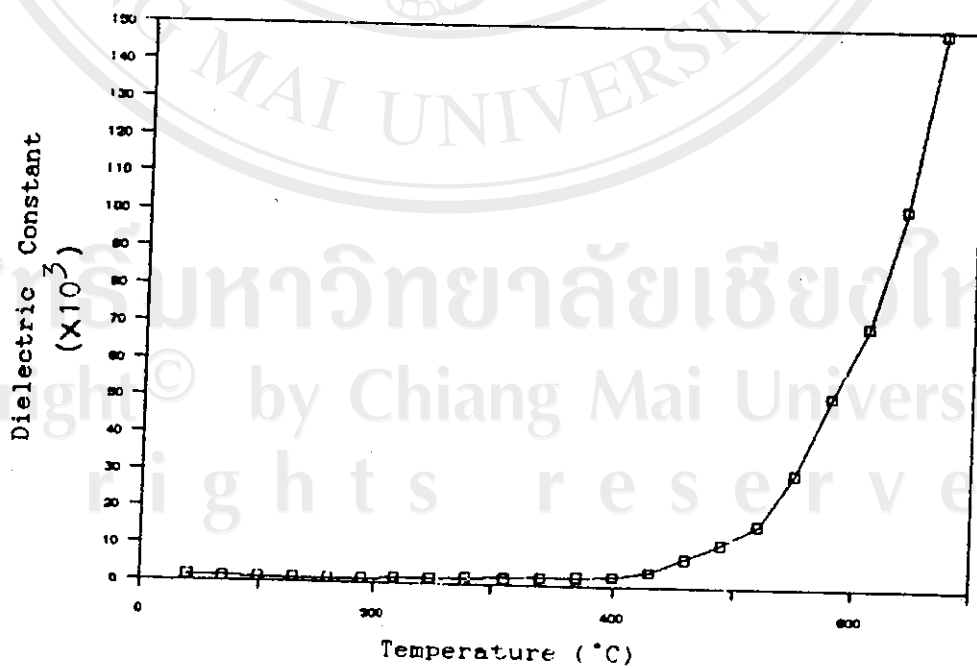
4.2 ความสัมพันธ์ระหว่างค่าคงที่ไดอิเล็กตริก กับอุณหภูมิ

เมื่อนำสารตัวอย่างที่เตรียมได้ มาทำเป็นตัวเก็บประจุแล้ววัดค่าความจุไฟฟ้า โดยใช้ Capacitance meter ที่มีความถี่ 303 เฮิรตซ์ โดยวัดในช่วงอุณหภูมิ 40 - 670 องศาเซลเซียส แล้วคำนวณหาค่าคงที่ไดอิเล็กตริก ได้จากสมการที่ (3.2) จะได้ความสัมพันธ์ระหว่างค่าความจุไฟฟ้า, ค่าคงที่ไดอิเล็กตริก และความต้านทานที่อุณหภูมิต่าง ๆ ดังแสดงตามตารางที่ ผ.1 ถึงตารางที่ ผ.24 ในหน้า

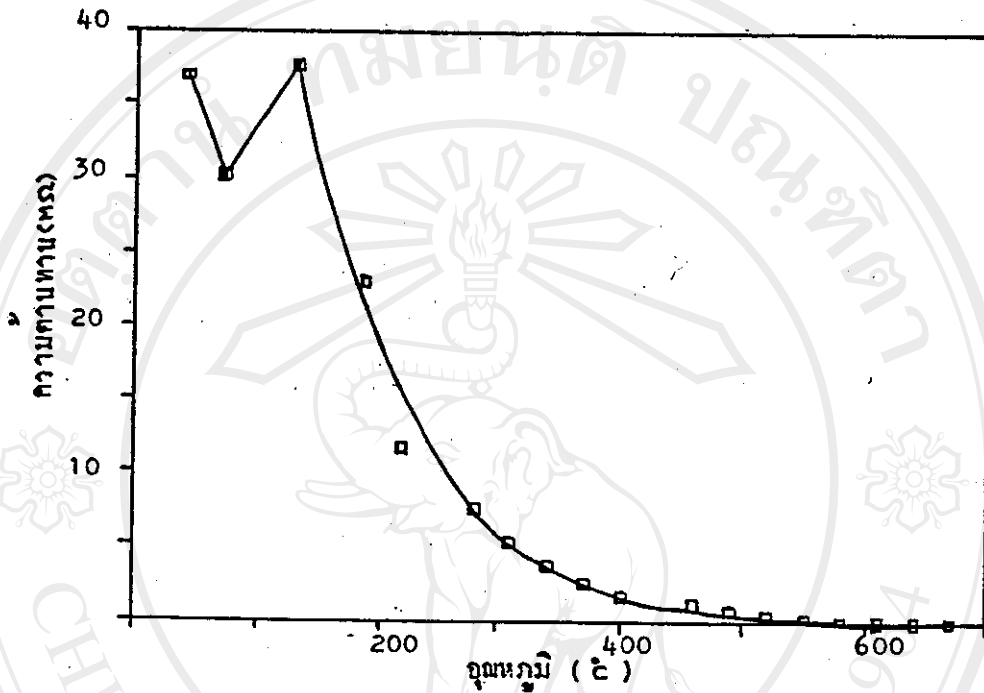
นำค่าความจุไฟฟ้าของ Sample ในช่วงเริ่ม-ลดอุณหภูมิและค่าคงที่ไดอิเล็กตริก ไปเขียนกราฟกับอุณหภูมิจะได้กราฟแสดงความสัมพันธ์ของความจุไฟฟ้า และค่า ค่าคงที่ไดอิเล็กตริก กับอุณหภูมิ ดังแสดงในรูปที่ 4.4 ถึงรูปที่ 4.21



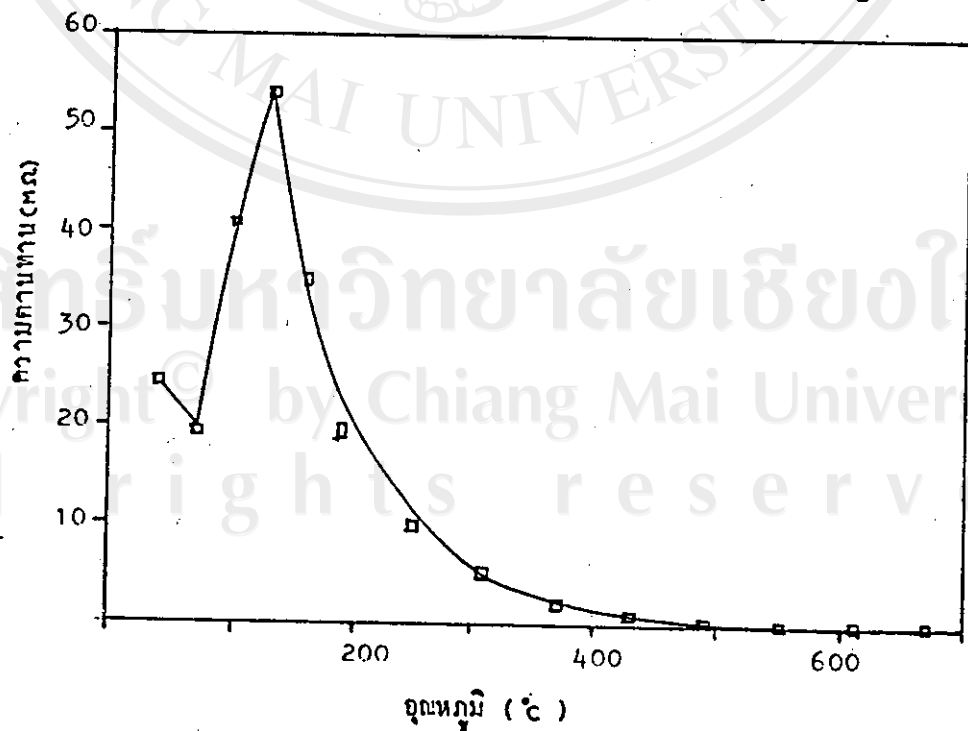
รูปที่ 4.4 กราฟระหว่างความจุไฟฟ้ากับอุณหภูมิ ในช่วงเพิ่มอุณหภูมิ (□), ลดอุณหภูมิ (+) ของ PbTiO_3 , $T = 1170^\circ\text{C}$, $t = 1$ ชั่วโมง, $P = 2,000 \text{ kg/cm}^2$



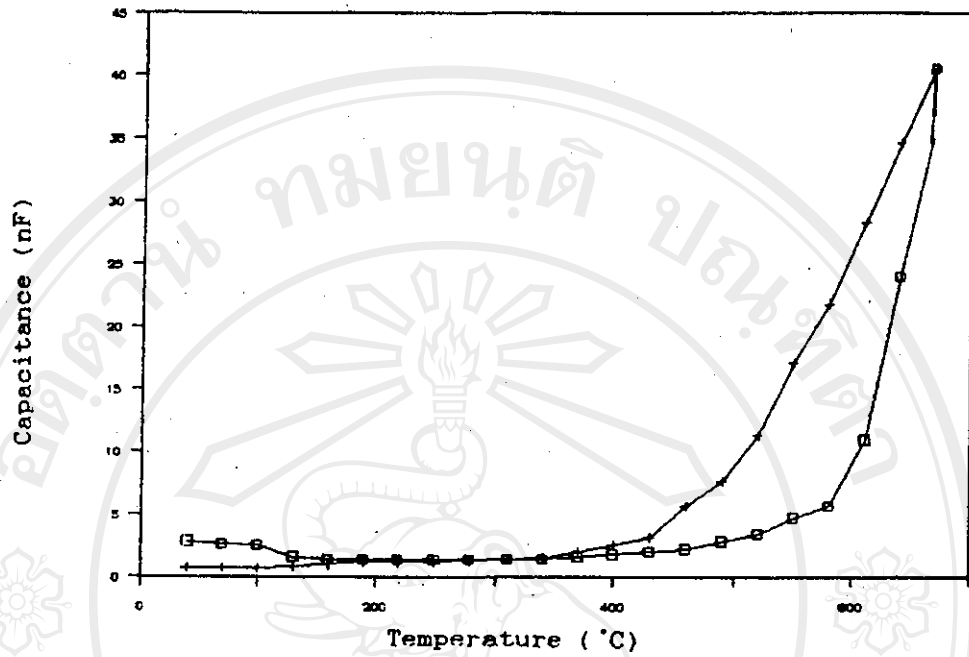
รูปที่ 4.5 กราฟระหว่าง Dielectric Constant กับอุณหภูมิ ของ PbTiO_3 , $T = 1170^\circ\text{C}$, $t = 1$ ชั่วโมง, $P = 2,000 \text{ kg/cm}^2$



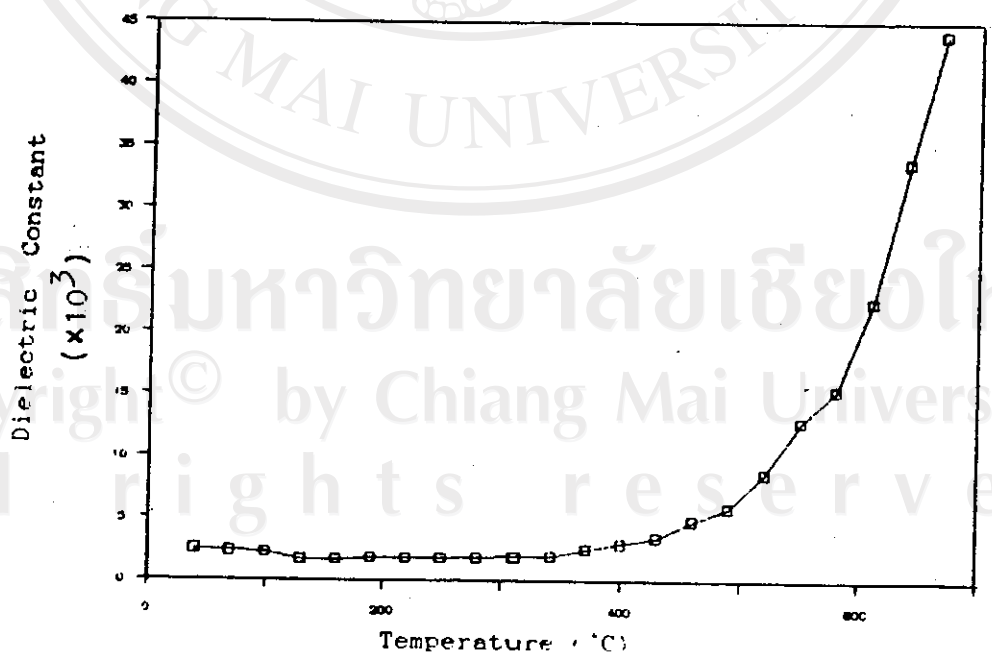
รูปที่ 4.6 กราฟระหว่างอุณหภูมิกับความต้านทานของ $PbTiO_3$,
 $T = 1170^\circ C$, $t = 1$ ชั่วโมง, $P = 2,000 \text{ kg/cm}^2$



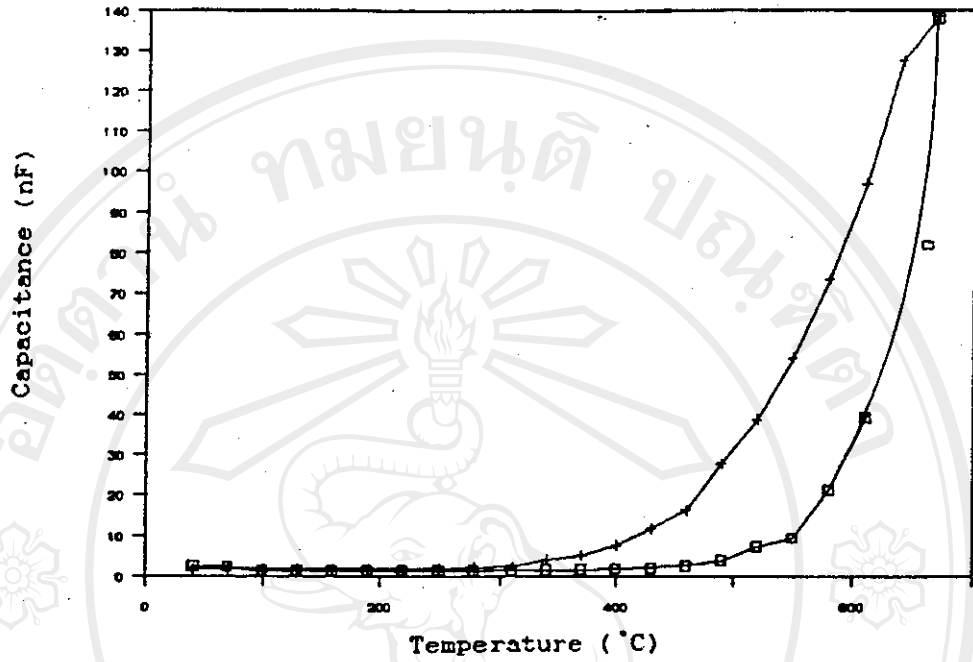
รูปที่ 4.7 กราฟระหว่างอุณหภูมิกับความต้านทานของ $PbTiO_3$,
 $T = 1170^\circ C$, $t = 1.5$ ชั่วโมง, $P = 2500 \text{ kg/cm}^2$



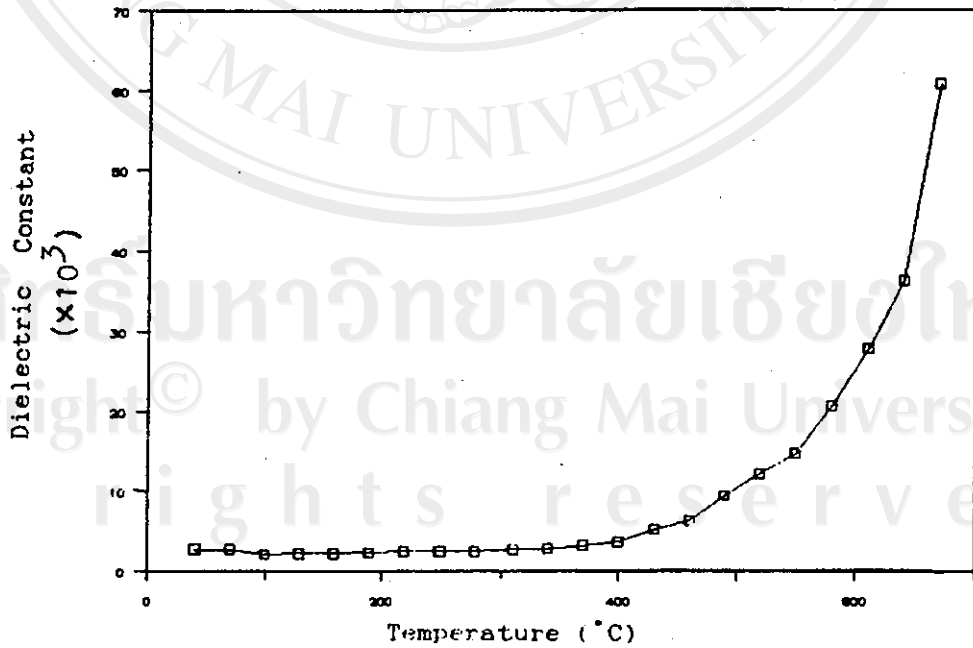
รูปที่ 4.8 กราฟระหว่างความจุไฟฟ้ากับอุณหภูมิ ในช่วงเพิ่มอุณหภูมิ (□), ลดอุณหภูมิ (+) ของ $PbTiO_3$, $T = 1170\text{ }^\circ\text{C}$, $t = 1.5$ นิ้วไมง, $P = 2,500\text{ kg/cm}^2$



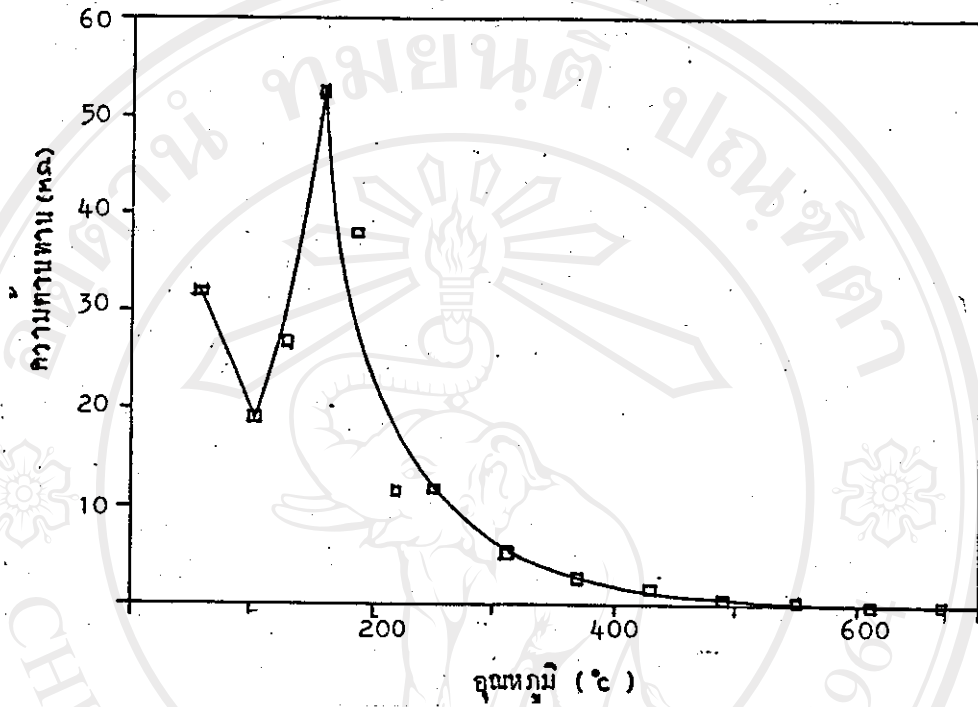
รูปที่ 4.9 กราฟระหว่าง Dielectric Constant. กับอุณหภูมิ ของ $PbTiO_3$, $T = 1170\text{ }^\circ\text{C}$, $t = 1.5$ นิ้วไมง, $P = 2,500\text{ kg/cm}^2$



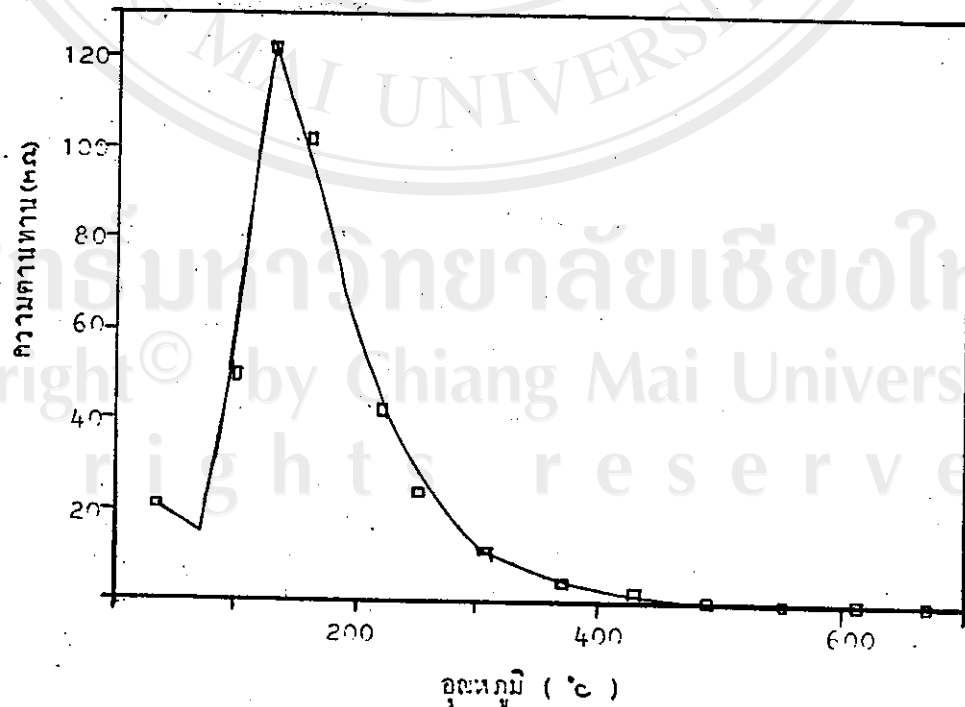
รูปที่ 4.10 กราฟระหว่างความจุไฟฟ้ากับอุณหภูมิ ในช่วงเริ่มอุณหภูมิ (□), ลดอุณหภูมิ (+) ของ $PbTiO_3$, $T = 1170\text{ }^\circ\text{C}$, $t = 2$ ชั่วโมง, $P = 3,000\text{ kg/cm}^2$



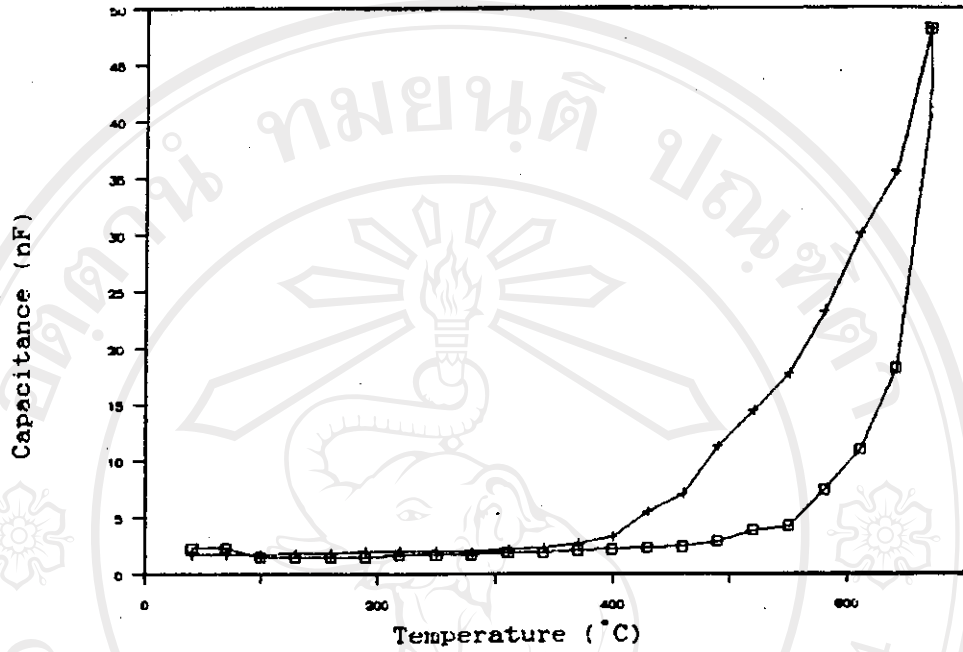
รูปที่ 4.11 กราฟระหว่าง Dielectric Constant กับอุณหภูมิ ของ $PbTiO_3$, $T = 1170\text{ }^\circ\text{C}$, $t = 2$ ชั่วโมง, $P = 3,000\text{ kg/cm}^2$



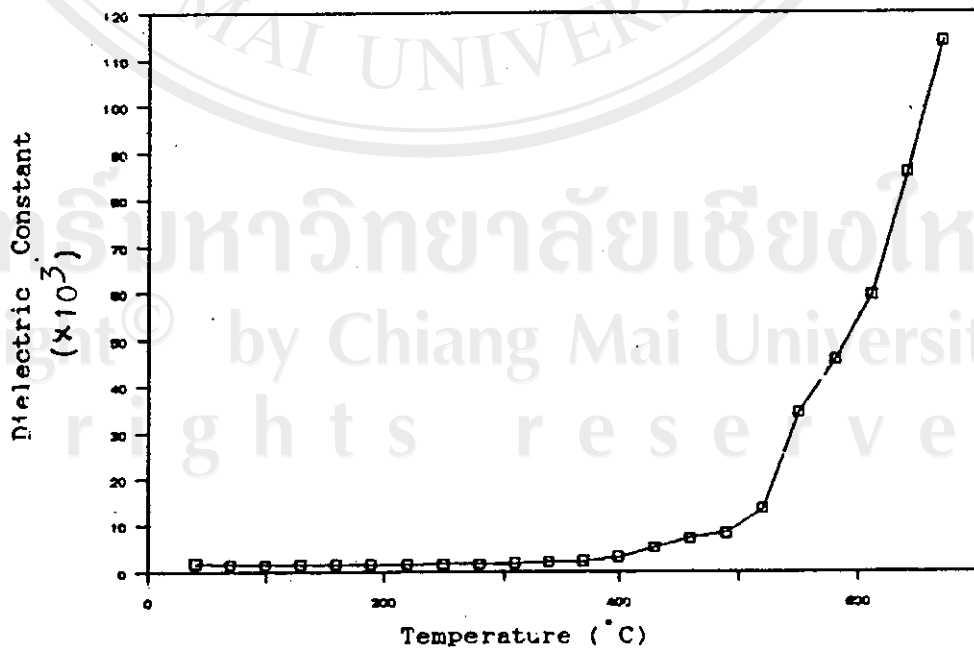
รูปที่ 4.12 กราฟระหว่างอุณหภูมิกับความต้านทานของ $PbTiO_3$,
 $T = 1170^\circ C$, $t = 2$ ชั่วโมง, $P = 3000 \text{ kg/cm}^2$



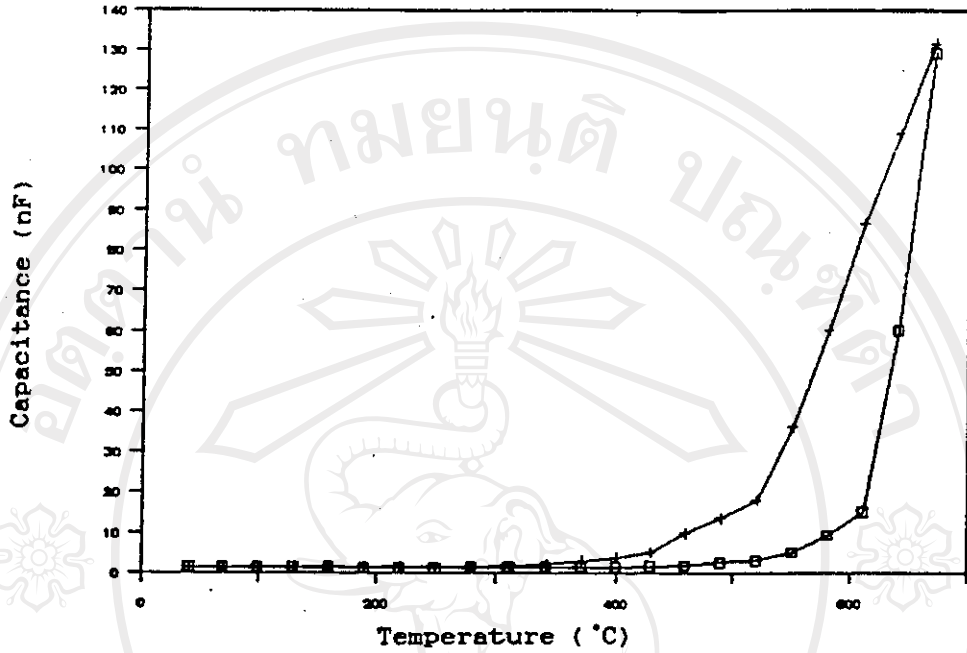
รูปที่ 4.13 กราฟระหว่างอุณหภูมิกับความต้านทานของ $PbTiO_3$,
 $T = 1170^\circ C$, $t = 2.5$ ชั่วโมง, $P = 1,000 \text{ kg/cm}^2$



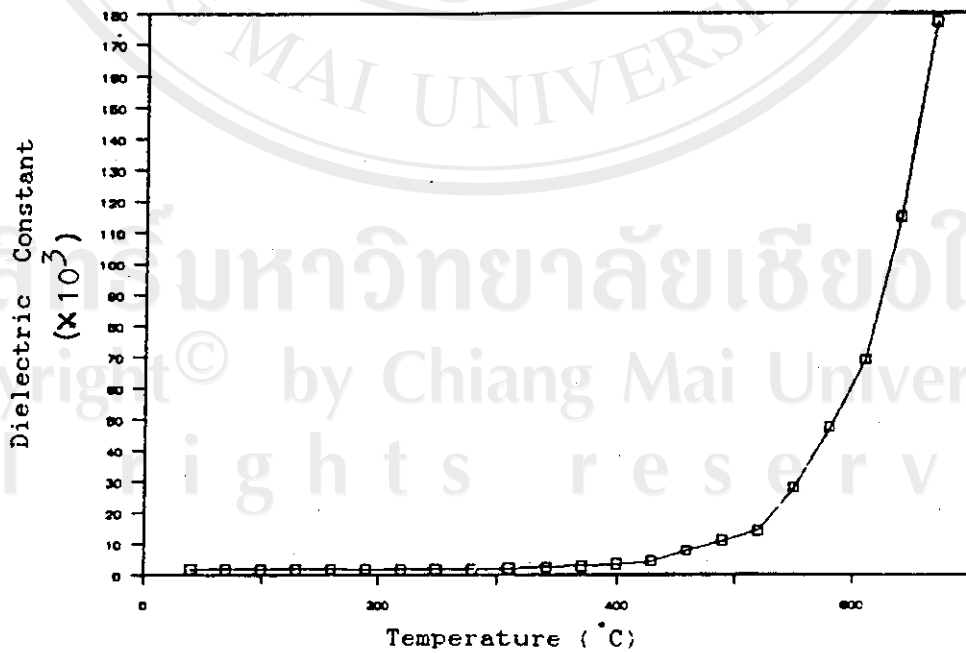
รูปที่ 4.14 กราฟระหว่างความจุไฟฟ้ากับอุณหภูมิ ในช่วงเพิ่มอุณหภูมิ (□), ลดอุณหภูมิ (+) ของ $PbTiO_3$, $T = 1170^\circ C$, $t = 2.5$ ชั่วโมง, $P = 1,000 \text{ kg/cm}^2$



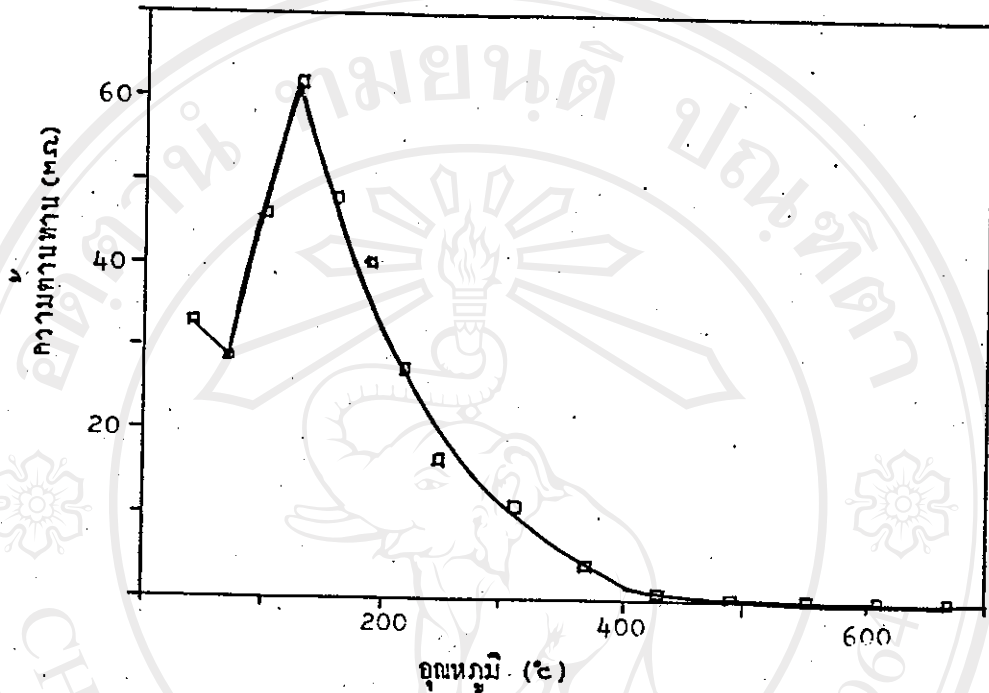
รูปที่ 4.15. กราฟระหว่าง Dielectric Constant กับอุณหภูมิ ของ $PbTiO_3$, $T = 1170^\circ C$, $t = 2.5$ ชั่วโมง, $P = 1,000 \text{ kg/cm}^2$



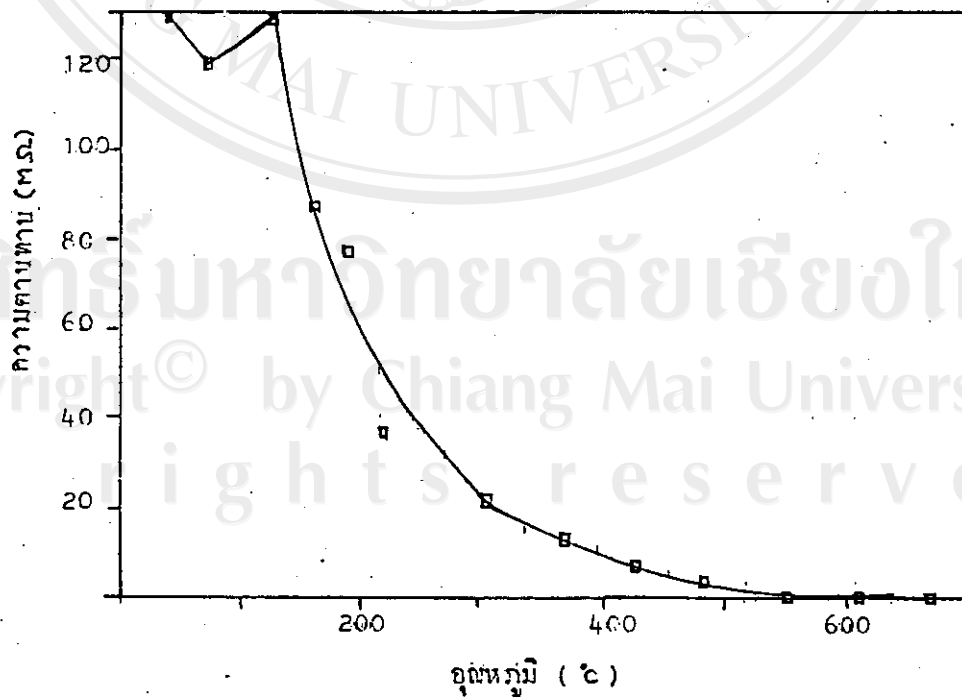
รูปที่ 4.16 กราฟระหว่างความจุไฟฟ้ากับอุณหภูมิ ในช่วงเพิ่มอุณหภูมิ(□), ลดอุณหภูมิ(+)
ของ $PbTiO_3$, $T = 1170^\circ C$, $t = 2.5$ ชั่วโมง, $P = 1,500 \text{ kg/cm}^2$



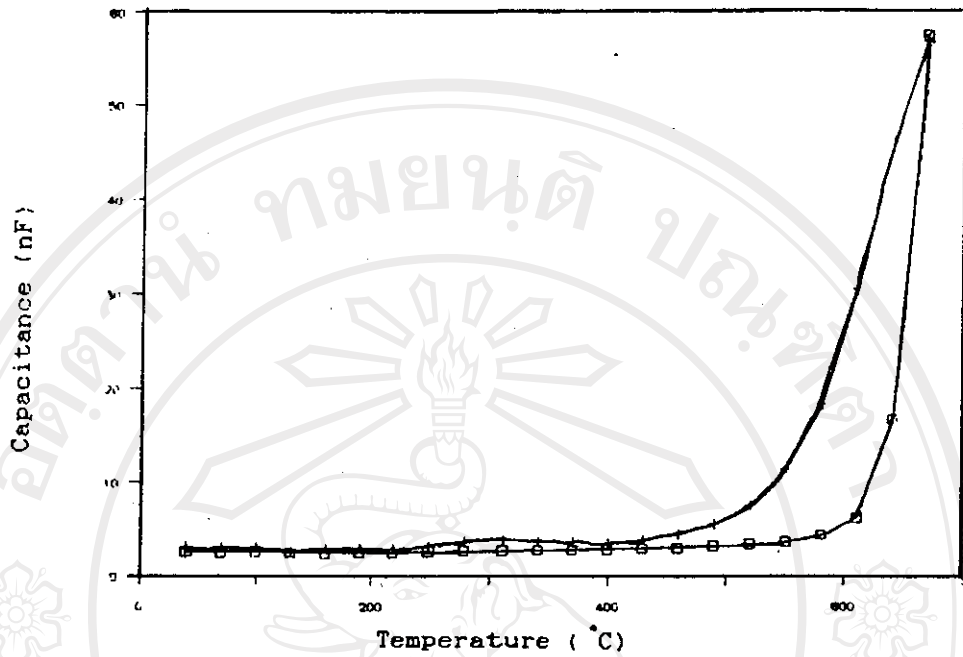
รูปที่ 4.17 กราฟระหว่าง Dielectric Constant กับอุณหภูมิ ของ $PbTiO_3$,
 $T = 1170^\circ C$, $t = 2.5$ ชั่วโมง, $P = 1,500 \text{ kg/cm}^2$



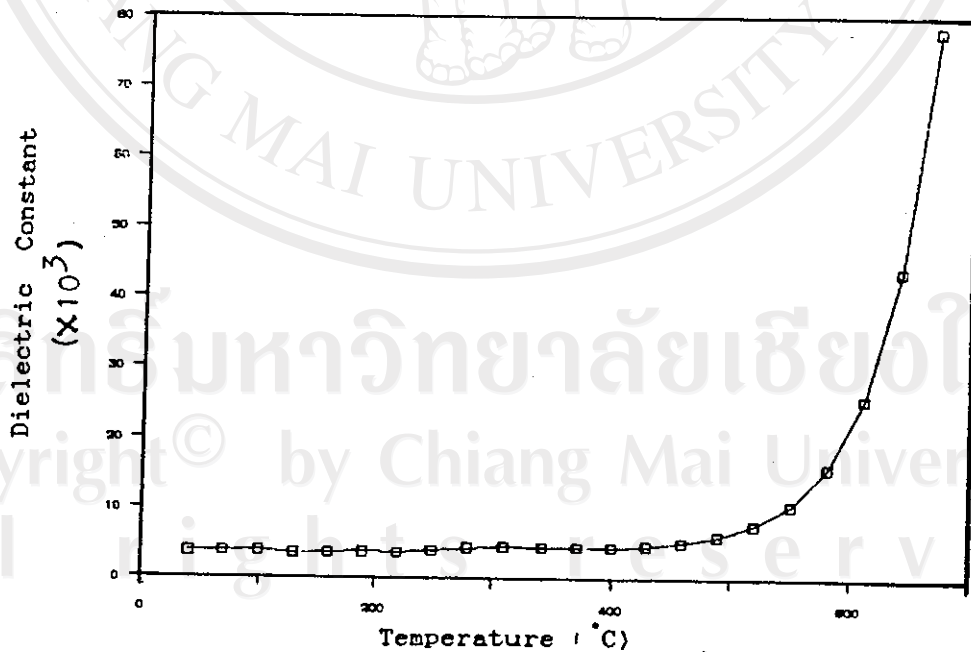
รูปที่ 4.18 กราฟระหว่างอุณหภูมิกับความต้านทานของ $PbTiO_3$,
 $T = 1170^\circ C$, $t = 2.5$ ชั่วโมง, $P = 1,500 \text{ kg/cm}^2$



รูปที่ 4.19 กราฟระหว่างอุณหภูมิกับความต้านทานของ PbO กับ TiO_2 , ในอัตราส่วน
 9:10 โมล, $T = 1170^\circ C$, $t = 1.5$ ชั่วโมง, $P = 2,000 \text{ kg/cm}^2$



รูปที่ 4.20 กราฟระหว่างความจุไฟฟ้ากับอุณหภูมิ ในช่วงเพิ่มอุณหภูมิ (□), ลดอุณหภูมิ (+) ของ PbO กับ TiO_2 , ในอัตราส่วน 9 : 10 โมล, $T = 1170^\circ C$, $t = 1.5$ ชั่วโมง, $P = 2,000 \text{ kg/cm}^2$

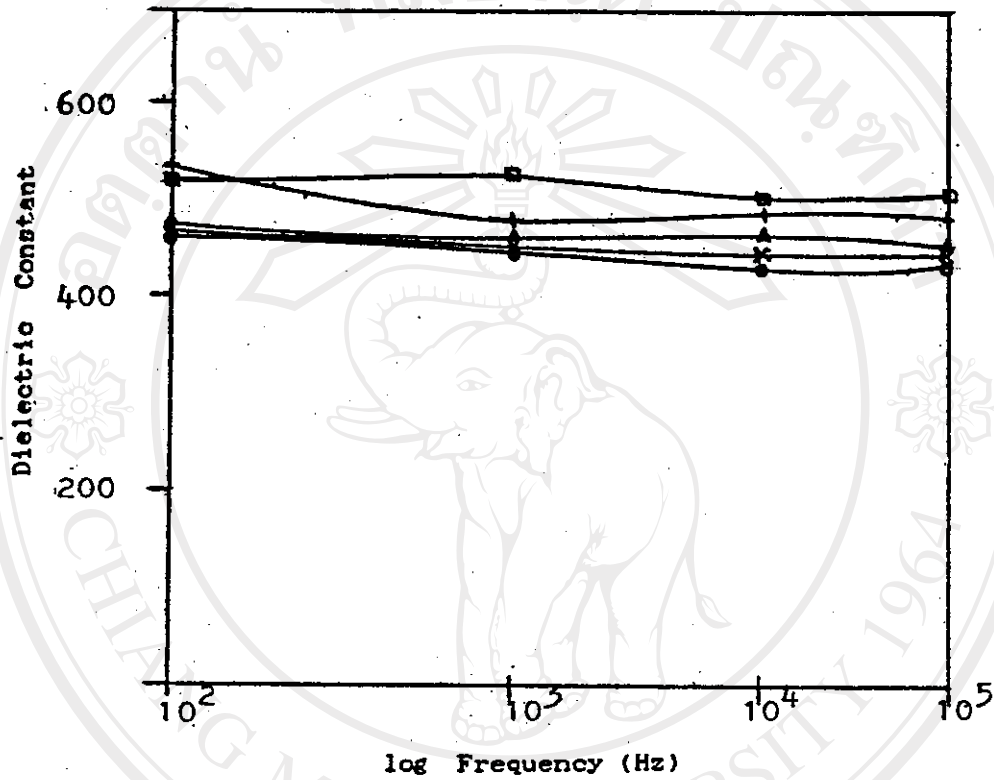


รูปที่ 4.21 กราฟระหว่าง Dielectric Constant กับอุณหภูมิ ของ PbO กับ TiO_2 , ในอัตราส่วน 9 : 10 โมล, $T = 1170^\circ C$, $t = 1.5$ ชั่วโมง, $P = 2,000 \text{ kg/cm}^2$

4.3 ความสัมพันธ์ระหว่างค่าคงที่ไดอิเล็กตริก กับความถี่

จากสารตัวอย่างในข้อ 4.2 จะถูกนำมาวัดค่าความจุไฟฟ้าในช่วงความถี่ 100 เฮิร์ตซ์ ถึง 100,000 เฮิร์ตซ์ โดยใช้วงจรการอัด-คายประจุ โดยวัดที่อุณหภูมิคงที่ 27°C แล้วคำนวณหาค่าคงที่ไดอิเล็กตริก ซึ่งจะได้ค่าความจุไฟฟ้า, ค่าคงที่ไดอิเล็กตริกที่ความถี่ต่าง ๆ ดังแสดงค่าดังตารางที่ ผ.25 ถึงตารางที่ ผ.44 ในหน้า 94 - 103

นำค่าคงที่ไดอิเล็กตริก ไปเขียนกราฟระหว่างค่าคงที่ไดอิเล็กตริก กับ \log ความถี่จะได้กราฟดังรูปที่ 4.22 ถึงรูปที่ 4.27



รูปที่ 4.22 กราฟระหว่างความถี่กับค่าคงที่ไดอิเล็กตริกของเลดตีตาเนต

$T = 1170^{\circ}\text{C}$, $t = 1$ ชั่วโมง, ความดันในการขึ้นรูป

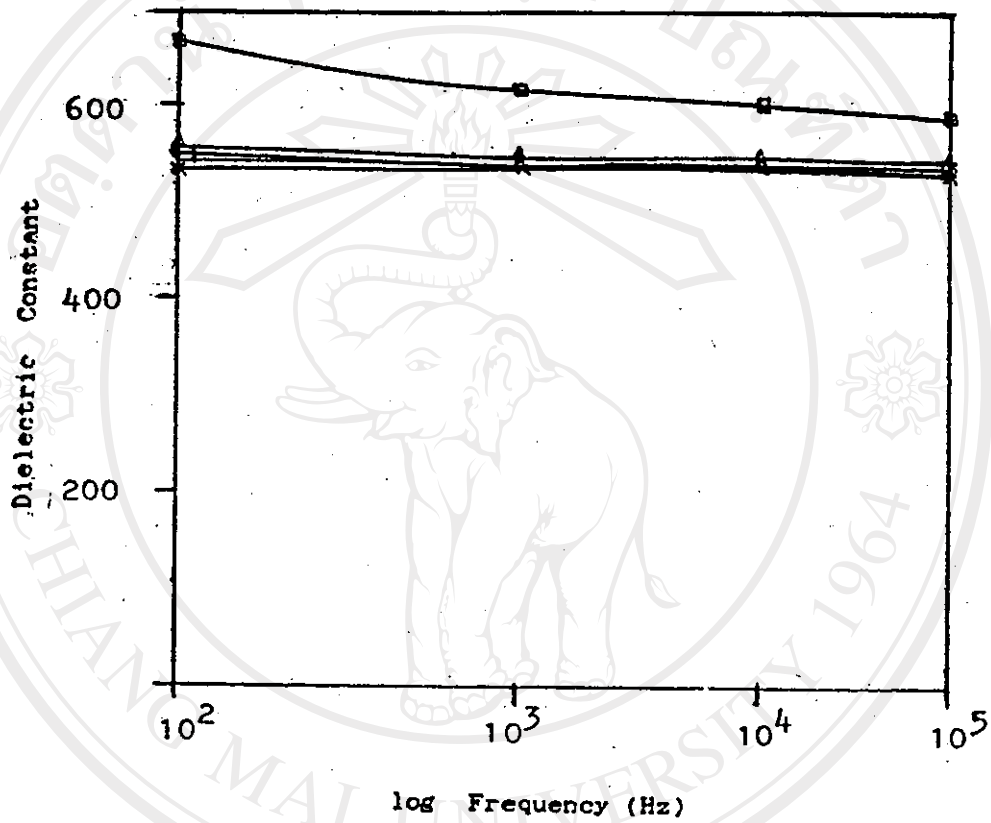
Δ = 1,000 kg/cm²

○ = 1,500 kg/cm²

+ = 2,000 kg/cm²

□ = 2,500 kg/cm²

× = 3,000 kg/cm²



รูปที่ 4.23 กราฟระหว่างความถี่กับค่าคงที่ไดอิเล็กตริกของเลดตีตาเนต

$T = 1170^{\circ}\text{C}$, $t = 1.5$ ชั่วโมง, ความดันในการขึ้นรูป

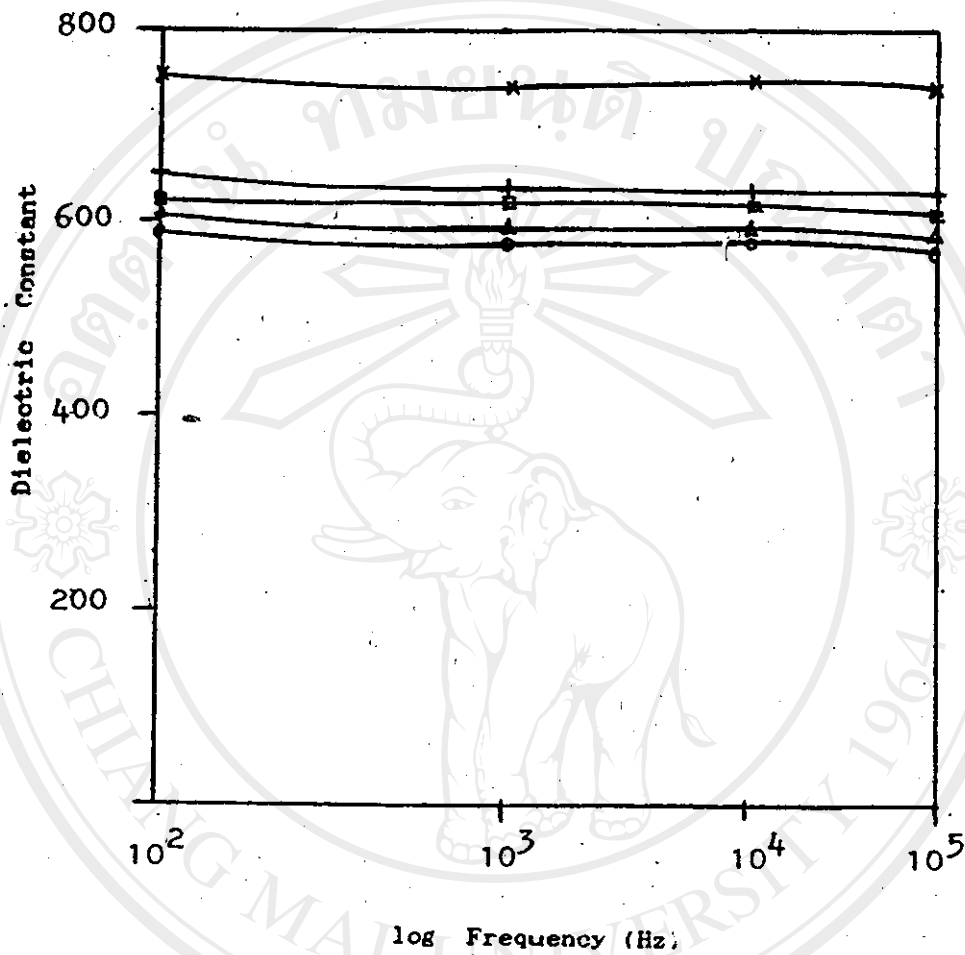
$\Delta = 1,000 \text{ kg/cm}^2$

$\circ = 1,500 \text{ kg/cm}^2$

$+ = 2,000 \text{ kg/cm}^2$

$\square = 2,500 \text{ kg/cm}^2$

$\times = 3,000 \text{ kg/cm}^2$



รูปที่ 4.24 กราฟระหว่างความถี่กับค่าคงที่ไดอิเล็กตริกของเลดตีตาเนต

$T = 1170^{\circ}\text{C}$, $t = 2$ ชั่วโมง, ความดันในการขึ้นรูป

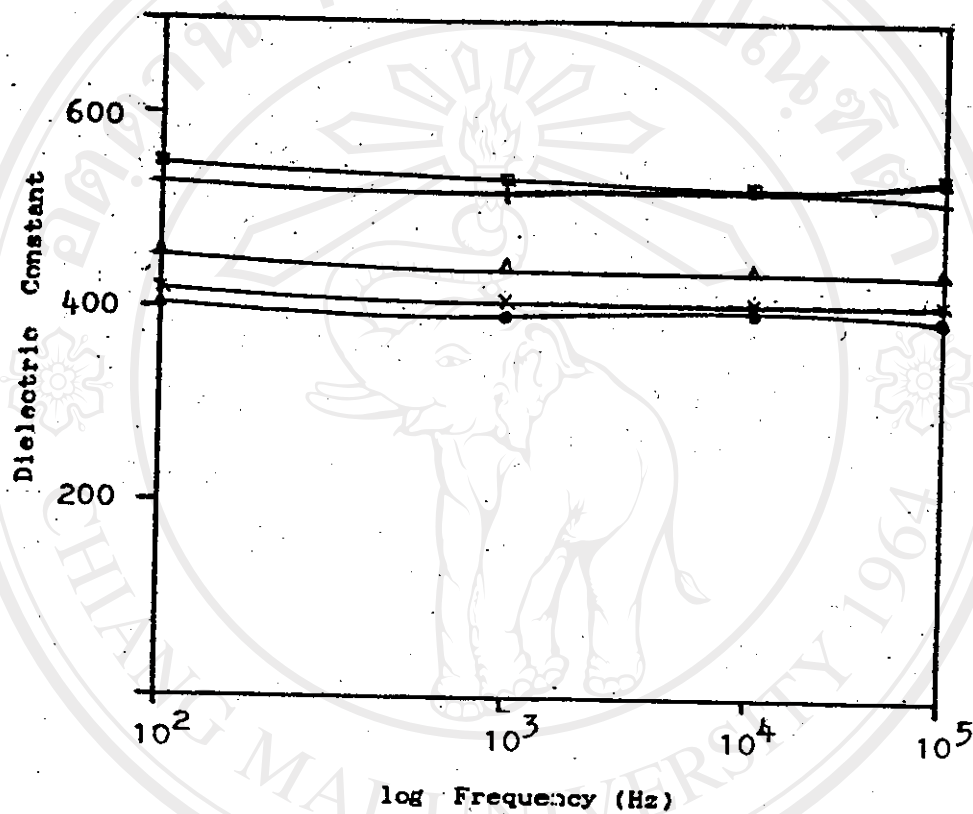
Δ = 1,000 kg/cm²

○ = 1,500 kg/cm²

+ = 2,000 kg/cm²

□ = 2,500 kg/cm²

× = 3,000 kg/cm²



รูปที่ 4.25 กราฟระหว่างความถี่กับค่าคงที่ไดอิเล็กตริกของเลดตีตาเนต

$T = 1170^{\circ}\text{C}$, $t = 2.5$ ชั่วโมง, ความดันในการขึ้นรูป

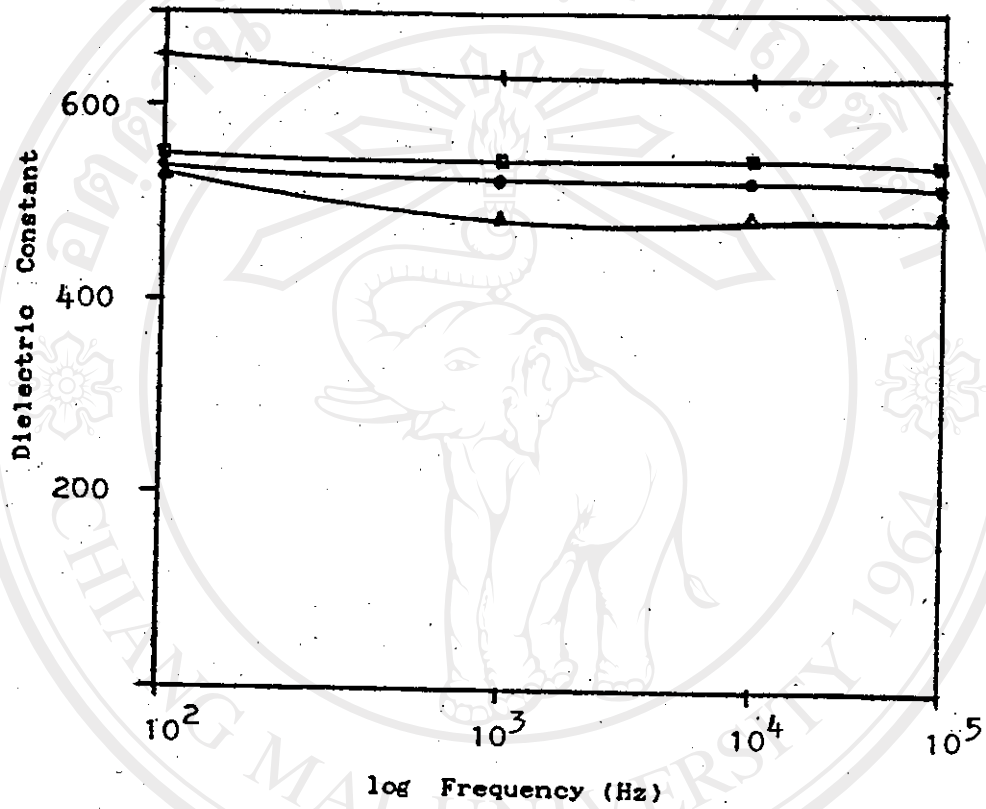
$\Delta = 1,000 \text{ kg/cm}^2$

$\circ = 1,500 \text{ kg/cm}^2$

$+$ = $2,000 \text{ kg/cm}^2$

$\square = 2,500 \text{ kg/cm}^2$

$\times = 3,000 \text{ kg/cm}^2$



รูปที่ 4.26 กราฟระหว่างความถี่กับค่าคงที่ไดอิเล็กตริกของเลดตีตาเนต

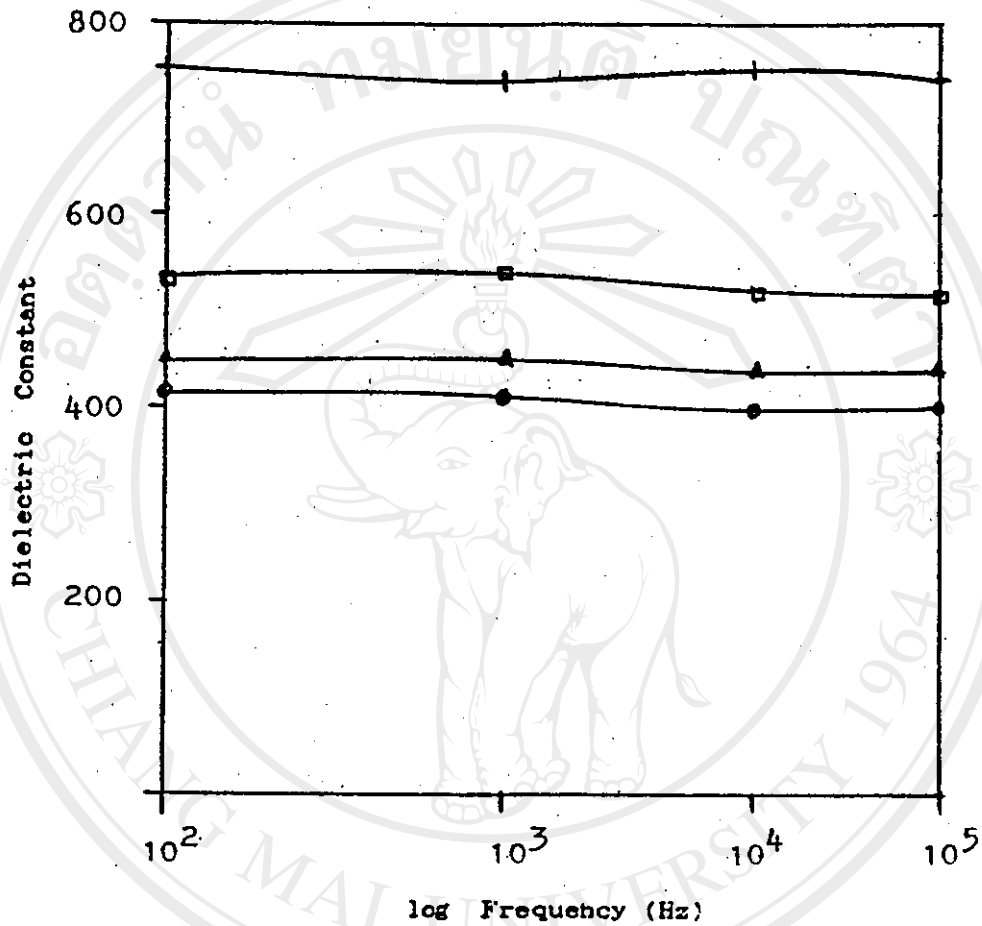
$T = 1170^{\circ}\text{C}$, $P = 2,000 \text{ kg/cm}^2$ เวลาในการเผาแช่

Δ- $t = 1$ ชั่วโมง

□- $t = 1.5$ ชั่วโมง

+ - $t = 2$ ชั่วโมง

○ - $t = 2.5$ ชั่วโมง



รูปที่ 4.27 กราฟระหว่างความถี่กับค่าคงที่ไดอิเล็กตริกของเลดตีตาเนต

$T = 1170^{\circ}\text{C}$, $P = 3,000 \text{ kg/cm}^2$, เวลาในการเผาแซ่

Δ - t = 1 ชั่วโมง

□ - t = 1.5 ชั่วโมง

+ - t = 2 ชั่วโมง

○ - t = 2.5 ชั่วโมง

4.4 วิเคราะห์ผลการทดลอง

4.4.1 การเตรียมเลดติตาเนต ($PbTiO_3$) จากการผสมเลดออกไซด์ (PbO) กับติตาเนียมออกไซด์ (TiO_2) ในอัตราส่วน 1 : 1 โมล ขึ้นรูปด้วยแรงดัน 1,000, 1,500, 2,000, 2,500 และ 3,000 กิโลกรัม เมื่อผ่านการเผาแคลไซน์ที่ $800^\circ C$ เป็นเวลา 1 ชั่วโมง แล้วผ่านกระบวนการซินเตอร์ที่ $1170^\circ C$ โดยใช้เวลาเผาแช่ 1, 1.5, 2 และ 2.5 ชั่วโมง ได้สารตัวอย่าง และเมื่อตรวจสอบด้วยการ x-ray diffraction พบว่าค่า d-spacing สอดคล้องกับค่ามาตรฐานจากบัตร A.S.T.M. เป็นอย่างดี ดังตารางที่ 4.1-4.3 นั่นคือสารตัวอย่างที่เตรียมได้เป็นเลดติตาเนต โดยไม่ขึ้นกับความดันในการขึ้นรูป และเวลาที่เผาแช่

4.4.2 เมื่อพิจารณาค่าคงที่ไดอิเล็กตริก ของเลดติตาเนตกับอุณหภูมิ พบว่าค่าคงที่ไดอิเล็กตริกจะคงที่ในช่วงระหว่างอุณหภูมิ $40-400^\circ C$ หลังจากนั้นค่าคงที่ไดอิเล็กตริกจะค่อย ๆ เพิ่มขึ้น และเพิ่มขึ้นอย่างรวดเร็วในช่วงอุณหภูมิตั้งแต่ $500^\circ C$ ขึ้นไป ดังกราฟในรูปที่ 4.5-4.21 ซึ่งสอดคล้องกับค่าคงที่ไดอิเล็กตริก ดังแสดงในรูปที่ 2.13 และรูปที่ 2.14

4.4.3 เลดติตาเนตที่เตรียมได้จากข้อ 4.4.1 จะมีค่าคงที่ไดอิเล็กตริกเฉลี่ย 19000 ในช่วงอุณหภูมิ $40-400^\circ C$ ที่ความถี่ 303 เฮิรตซ์ ดังรูปที่ 4.4-4.21 และตารางที่ พ.4.1-พ.4.18

4.4.4 พิจารณาจากข้อมูล ตารางที่ พ.1 - พ.18 เวลาที่เผาแช่ไว้ ($1170^\circ C$) เป็นเวลา 1.5 และ 2 ชั่วโมง จะทำให้ค่าคงที่ไดอิเล็กตริกที่คงที่ในช่วงอุณหภูมิ $40-400^\circ C$ สูงกว่าสารที่ได้จากเวลาที่เผาแช่ไว้ 1 หรือ 2.5 ชั่วโมง

4.4.5 ในกรณีคงที่เวลาเผาแช่ไว้ แต่เปลี่ยนแปลงความดันในการขึ้นรูป พบว่าความดันในการขึ้นรูปสูง ค่าคงที่ไดอิเล็กตริกก็จะสูงด้วย ดังตารางที่ พ.1-พ.5

4.4.6 ในการทดลองนี้ ไม่สามารถหาค่าคงที่ไดอิเล็กตริก ที่จุดสูงสุดได้ว่าตรงกับอุณหภูมิใด แต่ทำการทดลองถึงอุณหภูมิ $670^\circ C$ ซึ่งเป็นช่วงที่ค่าคงที่ไดอิเล็กตริก เพิ่มขึ้นอย่างรวดเร็ว แต่ความต้านทานกลับลดต่ำลง และต่ำกว่าระดับเมกกะโอห์ม อนึ่งกาวเงินที่ใช้ทา

ผิวสารตัวอย่าง เมื่อทำ contact จะหลอมหลุดออกได้เมื่ออยู่ในอุณหภูมิสูง ๆ

4.4.7 พิจารณาค่าคงที่ไดอิเล็กตริกของเลดตีตาเนต จากกราฟดังรูปที่ 4.5 - 4.21 พบว่าหลังอุณหภูมิ 500°C ขึ้นไป ค่าคงที่ไดอิเล็กตริกเพิ่มขึ้นอย่างรวดเร็ว แม้เปลี่ยนแปลงอุณหภูมิเพียงเล็กน้อย แสดงว่าอุณหภูมิคูรีของเลดตีตาเนตมีค่าเกินกว่าอุณหภูมิ 500°C แต่ไม่สามารถบอกตำแหน่งแน่นอนได้ด้วยเหตุผลดังข้อ 4.4.6

4.4.8 พิจารณาค่าความจุไฟฟ้า ในช่วงเพิ่มอุณหภูมิ และลดอุณหภูมิ พบว่า ในช่วงอุณหภูมิตั้งแต่ $40-400^{\circ}\text{C}$ ค่าความจุทั้งช่วงเพิ่มและลดอุณหภูมิ มีค่าใกล้เคียงกันมากโดยมีค่าประมาณ 1,800 พิโคฟารัด แต่หลังจากอุณหภูมิ 400°C ขึ้นไป ค่าความจุในช่วงเพิ่มอุณหภูมิจจะมีค่าต่ำกว่าค่าความจุในช่วงลดอุณหภูมิ ดังรูปที่ 4.4-4.20

4.4.9 พิจารณาค่าความต้านทาน จะมีค่าลดลงเมื่ออุณหภูมิสูงขึ้น และลดต่ำกว่าเมกกะโอห์ม เมื่ออุณหภูมิสูงกว่า 400°C ขณะที่ความต้านทานต่ำ แสดงว่าสารนั้นไม่ใช่สารไดอิเล็กตริกที่ดี อาจมีกระแสไหลผ่านสารไปได้ ทำให้ค่าความจุที่วัดได้ในช่วงนี้ไม่ถูกต้องนัก จึงมีการตรวจสอบค่าความจุที่ความต้านทานต่ำ ๆ นั้น ดังวงจรแสดงในรูปที่ ผ.5 และตารางที่ ผ.51

4.4.10 เมื่อเตรียมสารตัวอย่างใหม่ โดยใช้อัตราส่วนของ PbO กับ TiO_2 ใกล้เคียงกับ 1 : 1 โมล เช่น 10 : 9 หรือ 8 : 10 โมล สมบัติทางไฟฟ้าของสารนั้นจะใกล้เคียงกับเลดตีตาเนต ดังแสดงในรูปที่ 4.20-4.21 แต่หลังจากอัตรา PbO กับ TiO_2 เป็น 7 : 10 หรือมากกว่านี้ จะได้ค่าคงที่ไดอิเล็กตริก ดังแสดงในตารางที่ ผ.23 และ ผ.24

4.4.11 เมื่อพิจารณาค่าคงที่ไดอิเล็กตริกกับความถี่ พบว่าในช่วงความถี่ต่ำ ๆ (100-1,000 เฮิรตซ์) ค่าคงที่ไดอิเล็กตริกค่อนข้างจะคงที่ แต่ในช่วงความถี่ตั้งแต่ 10^4-10^5 เฮิรตซ์ ค่าคงที่ไดอิเล็กตริกมีแนวโน้มลดต่ำลงเล็กน้อย ดังแสดงในรูปที่ 4.22-4.27

4.4.12 ที่ความถี่สูง ๆ เกินกว่า 10^5 เฮิร์ตซ์ อุปกรณ์ที่ใช้ทดลองจะตอบสนองต่อสัญญาณคลื่นไม่ทันก จึงไม่สามารถหาค่าคงที่ไดอิเล็กตริกที่ความถี่สูง ๆ ได้ ทั้งนี้เพราะเกินขีดจำกัดของเครื่องมือ



ลิขสิทธิ์มหาวิทยาลัยเชียงใหม่
Copyright© by Chiang Mai University
All rights reserved